

RETICULADOS E APLICAÇÕES EM COMUNICAÇÕES

Palavras-Chave: RETICULADOS, CODIFICAÇÃO, TRANSMISSÃO DE SINAIS

Autores/as:

Iran Seixas Lopes Neto, FEEC, UNICAMP

Prof.^a Sueli I. R. Costa, IMECC, UNICAMP

INTRODUÇÃO:

Reticulados são conjuntos discretos de pontos no espaço n -dimensional que, por suas propriedades algébricas e geométricas, tem sido usada em diferentes aplicações. Na área de comunicação, são utilizadas para codificação e transmissão confiável e segura de sinais [1]. Criptografia baseada em reticulados é atualmente uma das principais subáreas da chamada criptografia pós-quântica [3].

Esse trabalho é parte inicial do projeto de iniciação científica “Matemática Discreta, Distância Entre Distribuições e Aplicações em Comunicações e Aprendizagem” (PICME 2023-2024), o qual propõe o estudo e pesquisa de tópicos introdutórios de reticulado, aprendizado de máquina e conexões entre estes.

Dentre os tópicos que já abordamos, escolhemos para a apresentação neste congresso conceitos e propriedades de reticulados que são relevantes para codificação de sinais. Destacamos particularmente os conceitos de empacotamento, cobertura, densidade, reticulados equivalentes e reticulados duais.

METODOLOGIA:

Estudo e pesquisa individual de artigos e livros descritos na bibliografia, e uso de recursos computacionais para simulações dos tópicos abordados (Particularmente Mathematica e Python). Encontros e discussões semanais com a orientadora, participação e apresentação de seminários do grupo de pesquisa relacionados aos temas abordados.

RESULTADOS E DISCUSSÃO:

Reticulados são conjuntos discretos de pontos no espaço Euclidiano n -dimensional, que são descritos como todas as combinações lineares inteiras de um conjunto de vetores independentes.

Dados b_1, b_2, \dots, b_m vetores linearmente independentes entre si em \mathbb{R}^2 , temos que o reticulado Λ de base $\{b_1, b_2, \dots, b_m\}$ é definido como:

$$\Lambda = \{u_1 b_1 + u_2 b_2 + \dots + u_m b_m : u_1, \dots, u_m \in \mathbb{Z}\} \quad (1)$$

O inteiro m é dito posto de Λ , e um reticulado tal que $m = n$ é chamado de posto máximo. Neste trabalho, consideraremos apenas reticulados de posto máximo.

Uma matriz geradora B de um reticulado é formada tendo como suas colunas a base do reticulado.

Uma propriedade interessante das matrizes geradoras é a possibilidade de obter bases alternativas de um reticulado usando uma matriz. Se uma matriz B é geradora de um reticulado qualquer, a matriz $B' = BU$, tal que U é uma matriz unimodular (matriz com entradas inteiras cujo determinante é igual a 1 ou -1), também é geradora do mesmo reticulado [1].

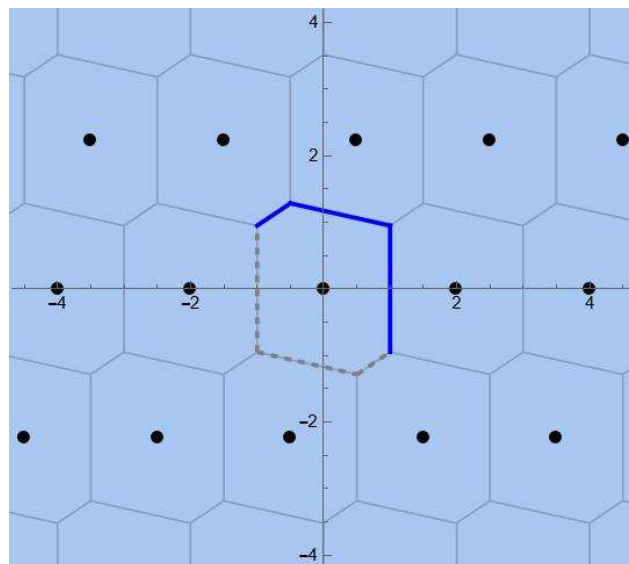
O volume de um reticulado de posto máximo $V(\Lambda)$ é dado pelo módulo do determinante de sua matriz geradora:

$$V(\Lambda) = |\det(B)| \quad (2)$$

A região de Voronoi $V_\Lambda(x)$ em um ponto $x \in \Lambda$ é o conjunto de todos os pontos em \mathbb{R}^n que estão mais próximos do ponto escolhido do que de qualquer outro ponto do reticulado, e a região de Voronoi do reticulado é dada como a região de Voronoi da origem ($V_\Lambda(0) = V(\Lambda)$). Em \mathbb{R}^2 , a região de Voronoi assume a forma de um polígono de quatro ou seis lados, dependendo do reticulado. Ao juntar as regiões de Voronoi de todos os pontos de um reticulado, é possível criar uma malha que cobre completamente o espaço \mathbb{R}^n .

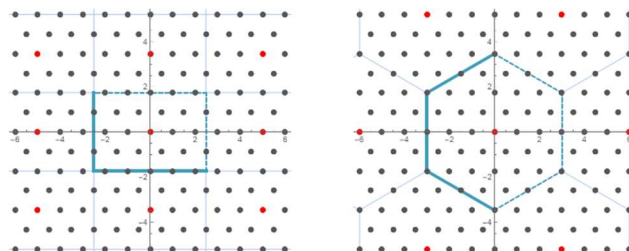
A região de Voronoi de um reticulado independe da base utilizada. Essa propriedade é muito importante para os estudos de comunicações, e ajuda a complementar os conhecimentos do próximo conceito.

Como exemplo, ao usar um reticulado Λ_B de base $B = \{(2, 0), (1/2, \sqrt{5})\}$, temos que a matriz geradora associada à base é $\begin{pmatrix} 2 & 1/2 \\ 0 & \sqrt{5} \end{pmatrix}$, o seu volume é igual a $2\sqrt{5}$, e a sua região de Voronoi é formada da seguinte maneira:



Região de Voronoi do reticulado de base $\{(2, 0), (1/2, \sqrt{5})\}$

A região de Voronoi de um subreticulado costuma ser para selecionar um conjunto finito especial para codificação (constelação de Voronoi)



Constelações de Voronoi do reticulado hexagonal (com base $\{(1, 0), (1/2, \sqrt{3}/2)\}$). À esquerda, é usado o subreticulado de base $\{(5, 0), (0, 2\sqrt{3})\}$, e à direita o de base $\{(6, 0), (3, 3\sqrt{3})\}$.

A norma mínima (ou distância mínima) de um reticulado é dada como o mínimo entre todas as normas de vetores não nulos pertencentes a Λ :

$$\lambda = \min\{\|x\|; x \in \Lambda, x \neq 0\}, \quad (3)$$

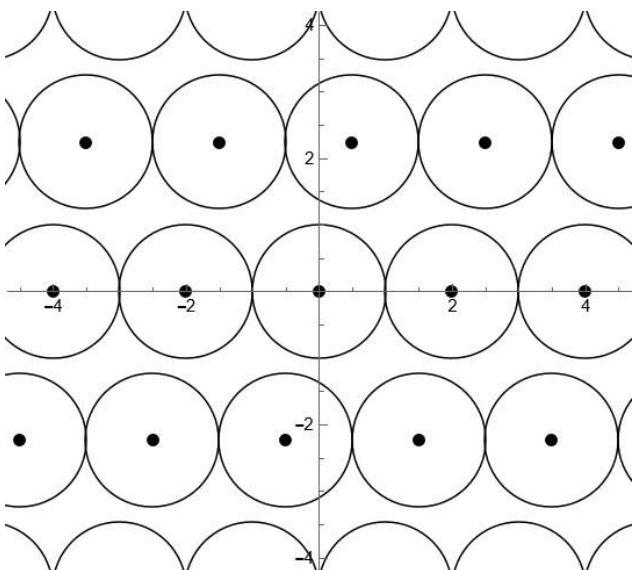
onde $\|x\|$ é a norma euclidiana padrão do vetor x .

Dado uma bola euclidiana $B^n(x, r)$ em \mathbb{R}^n de raio definido r com centro em um ponto x de um reticulado Λ , definimos o empacotamento do reticulado como a união dessas bolas em todos os pontos de Λ , tal que raio dessas bolas seja igual à metade da norma mínima ($r = \rho = \lambda/2$). O raio ρ é chamado de raio de empacotamento. Este raio define, por exemplo, qual é o tamanho máximo de um vetor ruído para que se possa decodificar corretamente em uma codificação em reticulados.

É importante notar que a bola $B^n(0, \rho)$ está dentro da região de Voronoi $V(\Lambda)$, e toca em seu bordo. Por fim, a densidade de empacotamento Δ de um reticulado é a razão entre o volume da bola $B^n(0, \rho)$ e o volume do reticulado:

$$\Delta(\Lambda) = \frac{V(B^n(0, \rho))}{V(\Lambda)} \quad (4)$$

Voltando ao exemplo do reticulado Λ_B , temos que $\lambda_B = 2$, $\rho_B = 1$ e $\Delta(\Lambda_B) = 0,7025$, com o empacotamento representado abaixo:



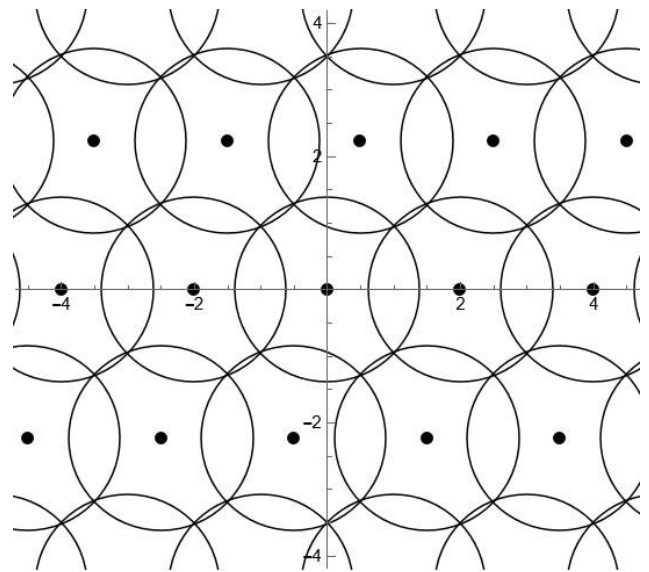
O empacotamento do reticulado de base $\{(2, 0), (1/2, \sqrt{5})\}$

A cobertura de um reticulado é definida como a união de bolas euclidianas $B^n(x, \mu)$ de menor raio μ com centro em todos os pontos x de Λ , de forma que a reunião delas cubra todo o espaço \mathbb{R}^n . Não há uma maneira fácil de definir o raio de cobertura; porém, sabemos que $B^n(0, \mu)$ contém a região de Voronoi $V(\Lambda)$ e toca nos seus vértices mais distantes do centro. Por fim, a taxa de cobertura θ de um reticulado é a razão entre o volume da bola $B^n(0, \mu)$ e o volume do reticulado:

$$\theta(\Lambda) = \frac{V(B^n(0, \mu))}{V(\Lambda)} \quad (5)$$

Para $n \geq 2$, a densidade de empacotamento é sempre menor que um, enquanto a taxa de cobertura é sempre maior que um. Isso acontece porque o empacotamento cobre uma área o máximo possível sem sobrepor, enquanto a cobertura cobre toda a área, sobrepondo o mínimo possível.

Para o reticulado Λ_B , temos que $\mu_B = 1,380$ e $\theta(\Lambda_B) = 1,337$, com a cobertura representado abaixo:



A cobertura do reticulado de base $\{(2, 0), (1/2, \sqrt{5})\}$

Dois reticulados são ditos equivalentes entre si se um deles for uma dilatação de todos os vetores do outro por um fator k , composta com uma transformação ortogonal. Reticulados equivalentes possuem os raios de empacotamento e cobertura dilatados em k vezes e o volume dilatado em k^n , porém eles tem a mesma densidade de empacotamento e a mesma taxa de cobertura.

Usando as bases geradoras dos reticulados, podemos obter uma relação mais formal entre eles. Dado os reticulados Λ_1 e Λ_2 , temos que ambos os reticulados são equivalentes se e somente se existirem duas matrizes B_1 e B_2 geradoras dos respectivos reticulados tais que $B_1 = kA_\theta B_2 U$, onde k é o fator de dilatação ou de contração, A_θ é uma matriz ortogonal, onde $A_\theta^T A_\theta = I_n$, sendo I_n a matriz identidade de dimensão n e U é uma matriz unimodular. Se $|k| = 1$, temos que os reticulados são *congruentes*.

A notação $\Lambda_1 \sim \Lambda_2$ é usada para a equivalência entre dois reticulados.

Um reticulado dual de um reticulado Λ é definido pelo conjunto de vetores y tais que o produto interno desses vetores com qualquer vetor x do reticulado Λ resulte em um valor inteiro, ou seja:

$$\Lambda^* = \{y \in \mathbb{R}^n \mid \langle x, y \rangle \in \mathbb{Z} \text{ para todo } x \in \Lambda\} \quad (6)$$

Outra forma de caracterizar o dual de um reticulado é usando sua matriz geradora. Considere um reticulado Λ em \mathbb{R}^2 com uma matriz geradora B formada pelas bases v_1 e v_2 . Considere também a matriz $(B^T)^{-1}$, composta pelos vetores v_3 e v_4 . Usando a propriedade da matriz inversa $AA^{-1} = I_2$, é possível afirmar que

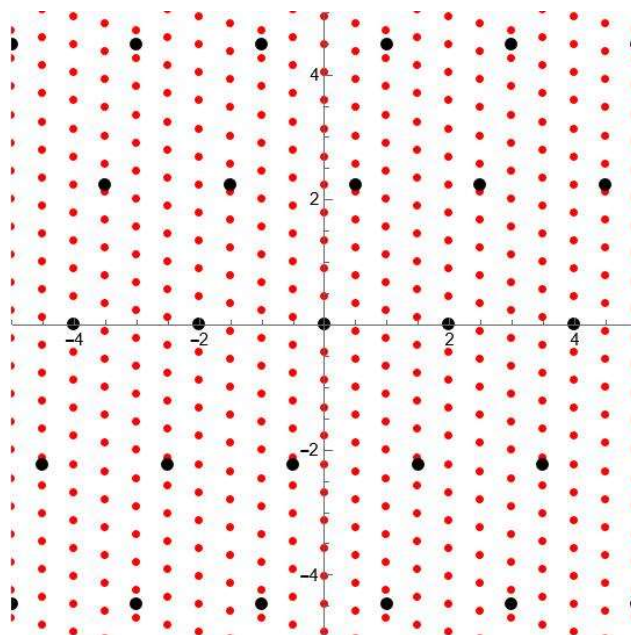
$B^T (B^T)^{-1} = I_2$. Simplificando a expressão, obtemos:

$$\begin{pmatrix} \langle v_1, v_3 \rangle & \langle v_1, v_4 \rangle \\ \langle v_2, v_3 \rangle & \langle v_2, v_4 \rangle \end{pmatrix} = \begin{pmatrix} 1 & 0 \\ 0 & 1 \end{pmatrix} \quad (7)$$

Da expressão acima, é possível ver que os produtos internos entre as bases v_1 e v_2 e os vetores v_3 e v_4 resultam em valores inteiros. Usando as propriedades do produto interno verificamos então que os vetores linearmente independentes v_3 e v_4 formam uma base para o reticulado dual, portanto a matriz $(B^T)^{-1}$ é matriz geradora desse dual. Apesar da prova estar feita aqui em \mathbb{R}^2 , é fácil ver que o teorema é válido para quaisquer dimensões.

Se um reticulado Λ possui o reticulado dual equivalente a ele ($\Lambda \sim \Lambda^*$), ele é dito auto dual. De forma semelhante, se Λ for um reticulado auto dual, temos que, para B sendo a matriz geradora desse reticulado:

$$B = kA_\theta^* (B^{-1})^T U \quad (8)$$



O reticulado de base $\{(2, 0), (1/2, \sqrt{5})\}$, junto com o seu dual de base $\{(1/2, -1/4\sqrt{5}), (0, 1/\sqrt{5})\}$

No exemplo do reticulado Λ_B , temos que o seu reticulado dual associado à matriz geradora $\begin{pmatrix} 1/2 & 0 \\ -\frac{1}{4\sqrt{5}} & \frac{1}{\sqrt{5}} \end{pmatrix}$ é equivalente a ele, sendo portanto auto dual.

Observamos através de outros exemplos que reticulados em dimensão 2 eram sempre auto duais. Esta é de fato uma propriedade interessante que demosmos a seguir.

Dada uma matriz geradora B de um reticulado Λ em \mathbb{R}^2 , podemos provar que ele sempre será um reticulado equivalente ao seu dual, com o fator k sendo igual ao determinante da matriz B e o ângulo de rotação sendo igual a 90° . Usando a matriz geradora do reticulado dual $(B^{-1})^T = B^*$, também teríamos uma matriz unimodular única:

$$B = \det(B) \cdot \begin{pmatrix} 0 & 1 \\ -1 & 0 \end{pmatrix} \cdot B^* \cdot \begin{pmatrix} 0 & -1 \\ 1 & 0 \end{pmatrix} \quad (9)$$

Isso ocorre por conta da formação única da matriz inversa em $n = 2$ [2], já que com uma matriz $B = \begin{pmatrix} a & b \\ c & d \end{pmatrix}$, ela sempre pode ser dada como $B^{-1} = \frac{1}{\det(B)} \cdot \begin{pmatrix} d & -b \\ -c & a \end{pmatrix}$. Calculando então a matriz transposta a essa para obter a matriz do dual $B^* = \frac{1}{\det(B)} \cdot \begin{pmatrix} d & -b \\ -c & a \end{pmatrix}$ e substituindo ela na Equação 9, é possível perceber que o produto das matrizes voltará para a matriz geradora B .

Logo, temos que $\Lambda \sim \Lambda^*$ para todo Λ em \mathbb{R}^2 , com dilatação igual ao determinante da sua matriz geradora e com uma rotação de 90° .

Note, porém, que esta propriedade só é verdadeira para reticulados em \mathbb{R}^2 . Para reticulados em maiores dimensões, nem todo

reticulado é auto dual. Por exemplo, o reticulado com matriz geradora $\begin{pmatrix} 1 & 0 & 0 \\ 0 & 3 & 0 \\ 0 & 0 & 2 \end{pmatrix}$ não é auto

dual, pois seu dual, de matriz geradora $\begin{pmatrix} 1 & 0 & 0 \\ 0 & \frac{1}{3} & 0 \\ 0 & 0 & \frac{1}{2} \end{pmatrix}$, não é equivalente a ele, o que

podemos verificar por exemplo calculando suas densidades de empacotamento, que são diferentes. Para reticulados em dimensões maiores ou iguais a 3, apenas alguns reticulados entram nessa classificação, como os reticulados Z_n , E_8 , λ_{24} , etc., que são especiais para certas codificações.

CONCLUSÕES:

Neste trabalho, discutimos e ilustramos parâmetros de reticulados que são relevantes para codificação em transmissão de sinais. Foram estudados particularmente os conceitos de empacotamento, cobertura e reticulado dual.

BIBLIOGRAFIA:

- [1] Sueli I. R. Costa, F. Oggier, A. Campello, J-C Belfiore, and E. Viterbo. **Lattices Applied to Coding for Reliable and Secure Communications**. Springer, 2017.
- [2] José L. Boldrini, Sueli I. R. Costa, Vera F. Figueiredo, and Henry G. Wetzler. **Álgebra Linear - 3º Edição**. Editora HARBRA, 1980.
- [3] PEIKERT, A. A decade of lattice cryptography. **Foundations and Trends in Theoretical Computer Science**, v. 10, n. 4, p. 283-424, 2016.
- [4] Wolfram Research, Inc. **Mathematica**. Version 13.0, Champaign, IL, 2021.